



Priedes genoma noslēpumi. Transponējamie Elementi: savīgi replikatori vai izdzīvošanas instruktori?

Dr.biol. Angelika Voronova



PostDoc
Latvia



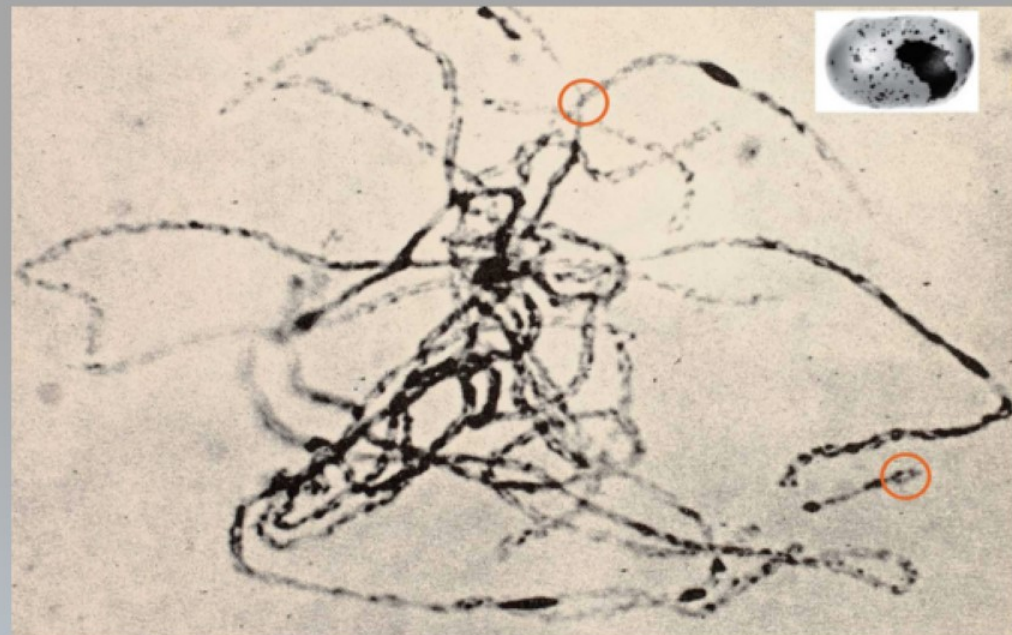
FLPP
FUNDAMENTĀLO UN
LIETIŠKO PĒTIJUMU
PROJEKTI

Transponējamie elementi jeb Mobilie ģenētiskie elementi

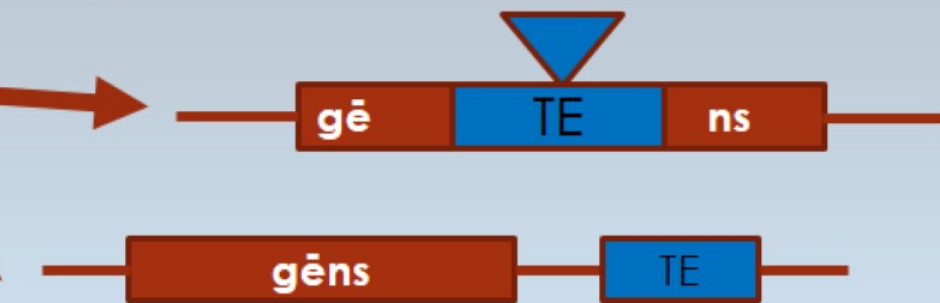


savīgi replikatori vai izdzīvošanas instruktori?

1934-1950 g. Ģenētiskas informācijas stabilitāte vai dinamiskums stresa laikā



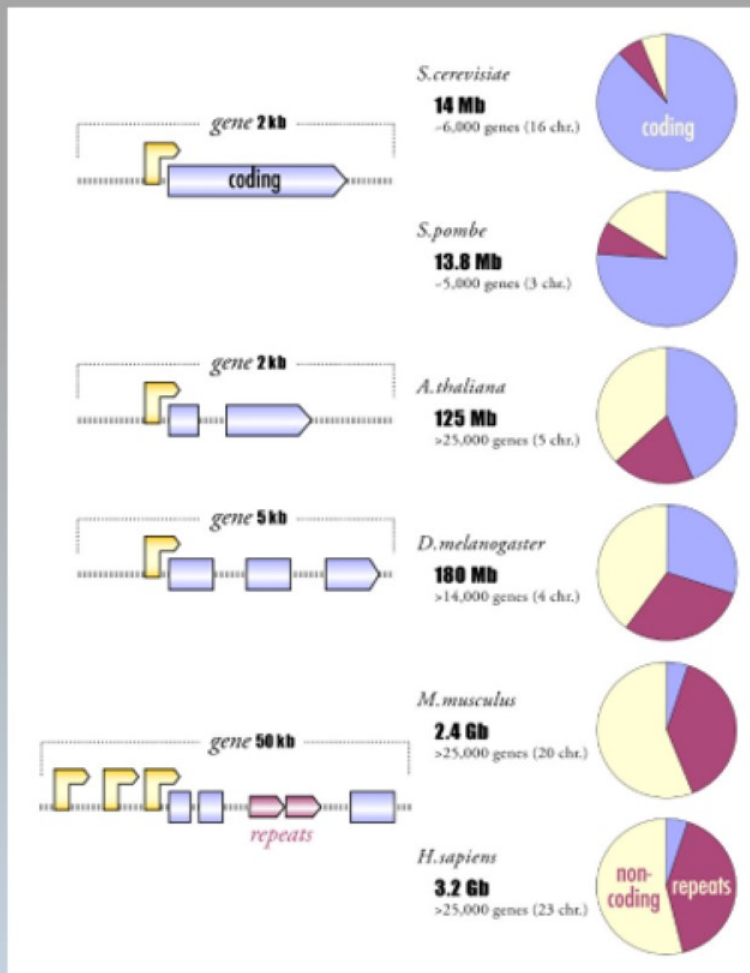
Barbara McClintock, atklāja transpozīciju 1940-1950 gados. Par savu atklājumu viņa saņēma Nobela prēmiju Fizioloģijā un medicīnā 1983. gadā. Viņa nosauca tos par «kontrolējošiem elementiem».



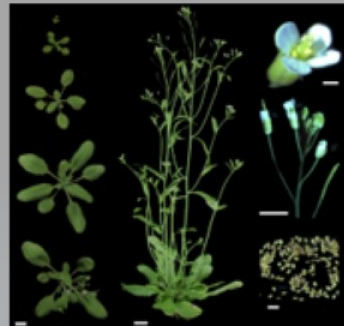
Transpozīcijas fenomens tika uzskatīts par kukurūzas genoma specifiku



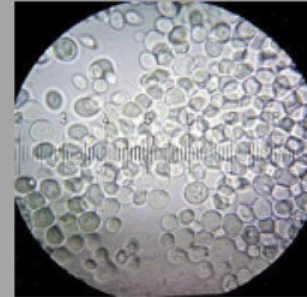
Gēni/ nekodējošs genoms



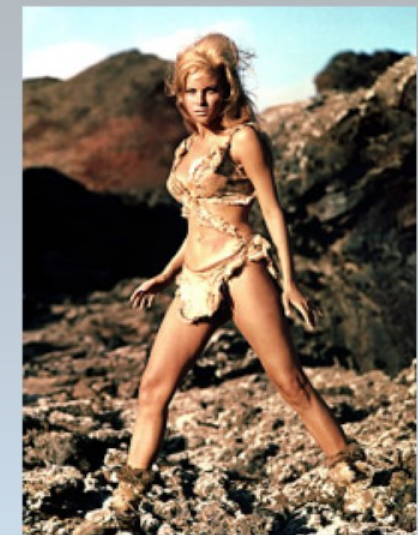
Kosi Gramatikoff



<http://www-ijpb.versailles.inra.fr/en/arabido/arabido.htm>



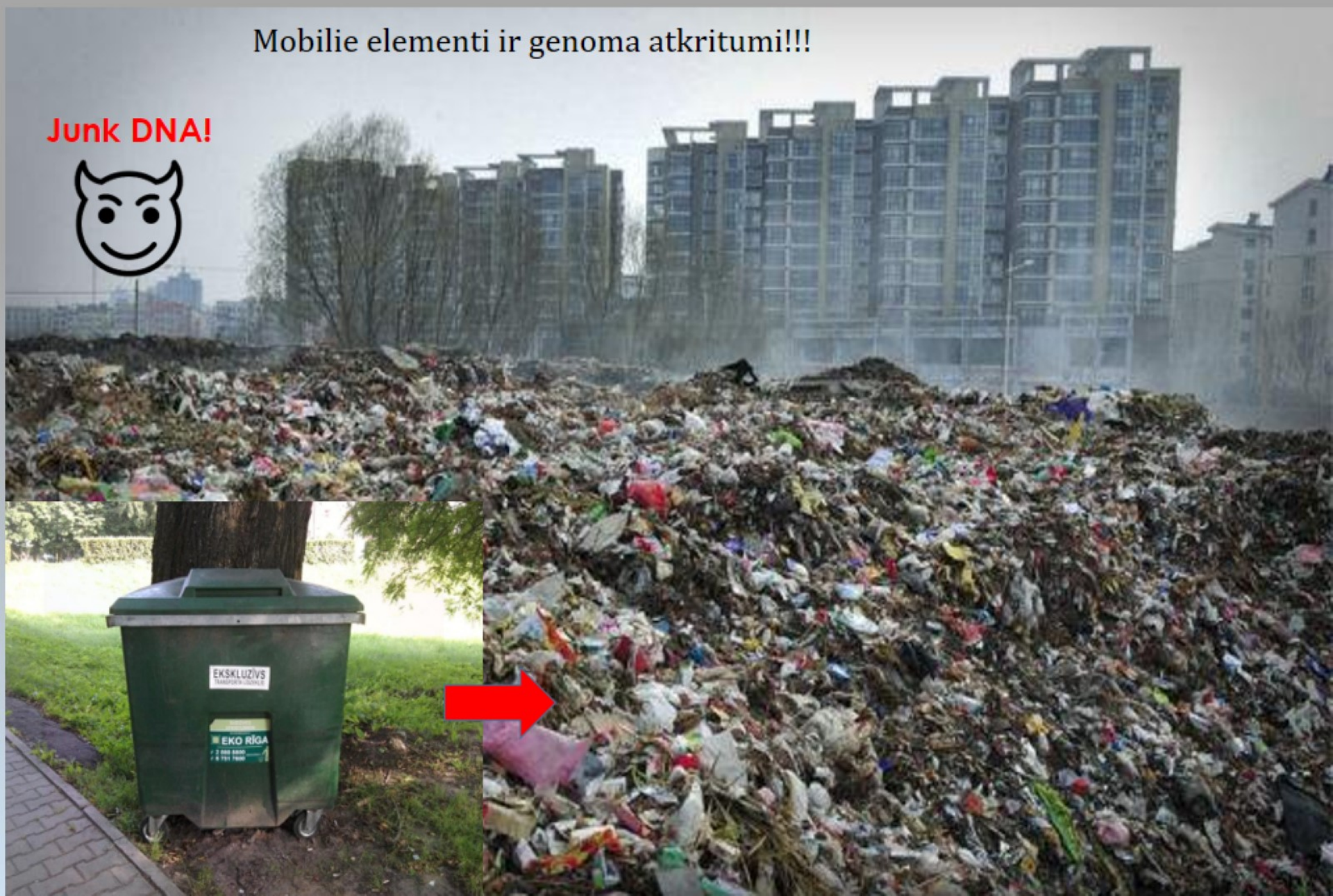
Bob Blaylock



Vai mūsu genoms ir atkritumu poligons?

Mobilie elementi ir genoma atkritumi!!!

Junk DNA!



1985-....TE un cilvēku slimības, iedzīmtība, evolūcija



Haig H. Kazazian Jr., M.D.



- ▶ 2016: 124 LINE-1-linked diseases (Hemophilia A, B; Cystic Fibrosis; Hereditary Cancer; Coffin–Lowry syndrome; β -thalassemia etc).



- ▶ Cilvēku un primātu genomu saīdzinājumi atklāj milzīgu variāciju transponējamo elementu un to izraisīto pārkārtojumu rezultātā

98%
CHIMP/HUMAN
DNA
SIMILARITY?



*Humans share
50% of their DNA
with bananas.*

L1 aktivizējas vēža šūnās, taču *L1* proteīniem ir vēža šūnu augšanas un dalīšanos inhibējoša iedarbība

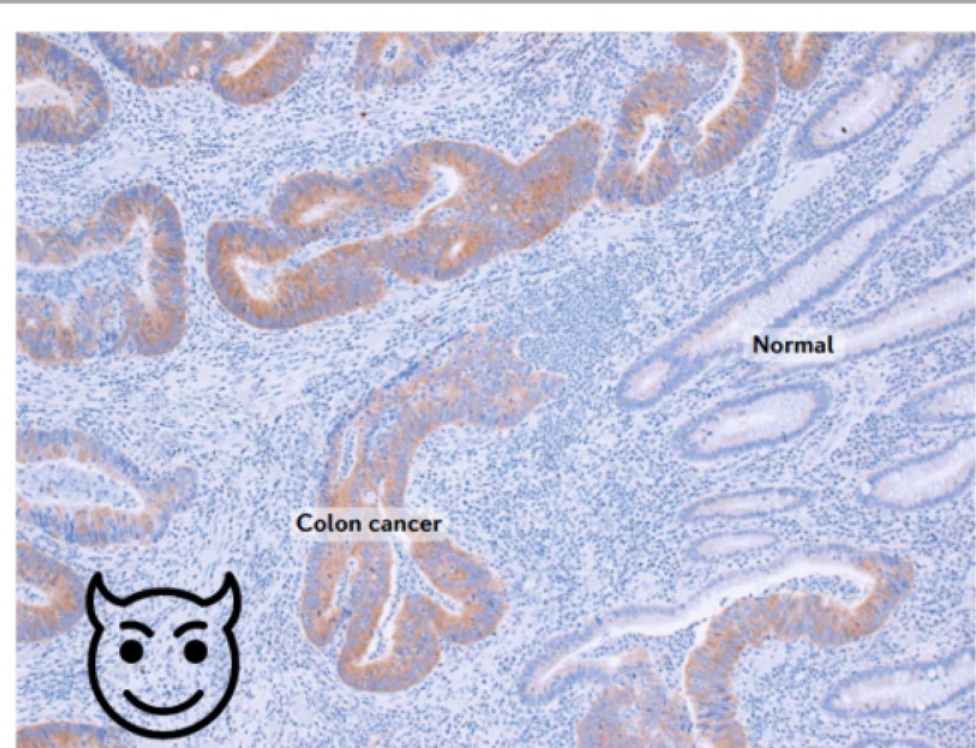


Fig. 2 | Long interspersed element 1 expression. The image shows histologic sections of a colon cancer and adjacent, normal colonic epithelium. The brown stain marks



Transposable elements in human genetic disease.

Lindsay M. Payer and Kathleen H. Burns. Nature Reviews Genetics volume 20, pages 760–772 (2019)



2000-....TE un cilvēku neironālā attīstība



L1 tiek mobilizēts neironālajās šūnās, kas nodrošina šo šūnu atskirīgu darbību.

2011-Somatic retrotransposition alters the genetic landscape of the human brain. Baillie JK, Barnett MW, Upton KR, Gerhardt DJ, Richmond TA, De Sario F, Brennan PM, Rizzu P, Smith S, Fell M, Talbot RT, Gustincich S, Freeman TC, Mattick JS, Hume DA, Heutink P, Carninci P, Jeddelloh JA, Faulkner GJ
Nature. 2011 Oct 30; 479(7374):534-7.

L1-associated genomic regions are deleted in somatic cells of the healthy human brain. Erwin JA, Paquola AC, Singer T, Gallina I, Novotny M, Quayle C, Bedrosian TA, Alves FI, Butcher CR, Herdy JR, Sarkar A, Lasken RS, Muotri AR, Gage FH Nat Neurosci. 2016 Dec; 19(12):1583-1591.



Saistība ar neirodegeneratīvām slimībām?

Evolucionāra loma

► 'Gene capture'-



► **Placentas veidošanās zīdītājiem:** syncytin-1 and -2 (HERV)

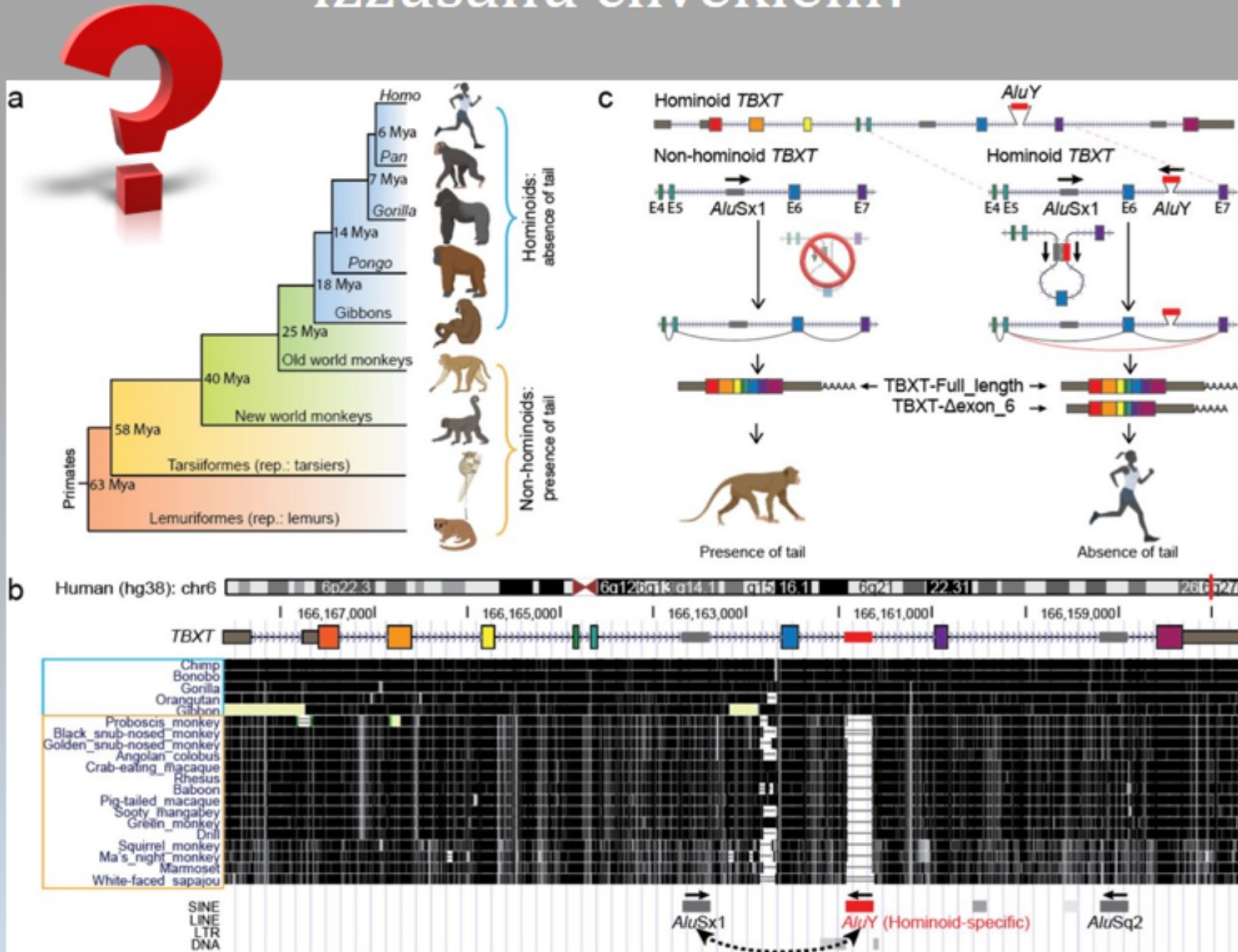


► **Rag1 and rag2 gēni ir veidojušies no transpozazes gēna, proteīns, kurš uzsak V(D)J rekombinaciju, somatisks process, kurš savieno gēnu produktus no imūnoglobulīniem un B, T šūnu receptoriem, nodrošinot imunitāti.**

ncRNS atklājumi: 90% no eikariotu genomiem ir transkribēti, tikai 2% -gēni; 98%-ncRNS



2021.g....*Alu* elementi ir atbildīgi par astes izzušanu cilvēkiem?

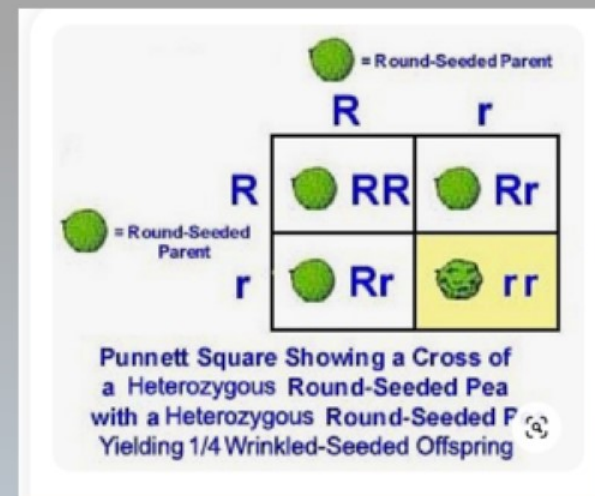


The genetic basis of tail-loss evolution in humans and apes. Bo Xia, Weimin Zhang, Aleksandra Wudzinska, Emily Huang, Ran Brosh, Maayan Pour, Alexander Miller, Jeremy S. Dasen, Matthew T. Maurano, Sang Y. Kim, Jef D. Boeke, Itai Yanai. doi: <https://doi.org/10.1101/2021.09.14.460388>

G.Mendeļa petītā zirņu pazīme ir TE izraisītās mutācijas rezultāts cietes zarojoša enzīma (*starch-branching enzyme, SBE1*) gēnā.



- samazināta cietes produkcija;
- augstāks saharozes saturs, kas savukārt veicina krokainības veidošanos pēc izžūšanas;
- augstāks olbaltumvielu saturs; legumiņs ar zemāku mitruma saturu;
- samazināta sēklu ilgmūžība;
- ir arī retas līnijas ar citām krokainību izraisošām mutācijām



R-gludi; r- krokaini



Bhattacharyya, M.K., Smith, A.M., Ellis, T.N., Hedley, C., Martin, C. (1990). [The wrinkled-seed character of pea described by Mendel is caused by a transposon-like insertion in a gene encoding starch-branching enzyme](#). Cell, 60, 115-122. DOI: [http://dx.doi.org/10.1016/0092-8674\(90\)90721-P](http://dx.doi.org/10.1016/0092-8674(90)90721-P)

...Vēl ļoti daudz piemēru, kad TE ir saistīts ar
saimnieciski nozīmīgām pazīmēm augiem



Fig. 2

Flower phenotypes of flower hue mutants and the genomic structure of the mutants. The boxes indicate the coding and the untranslated regions, respectively. Flower phenotypes are shown in panels a-d. The structure of the *EFP* gene (B). The *efp-1* mutant shows pale-colored flowers.

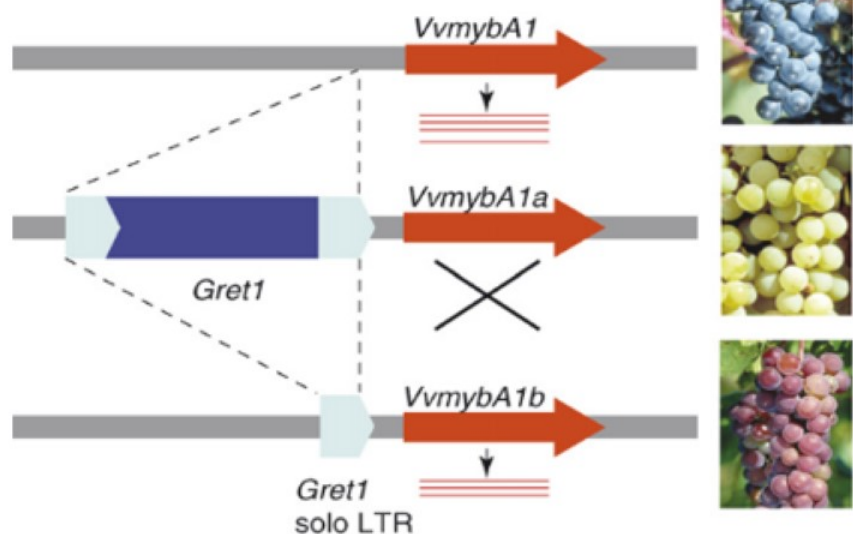
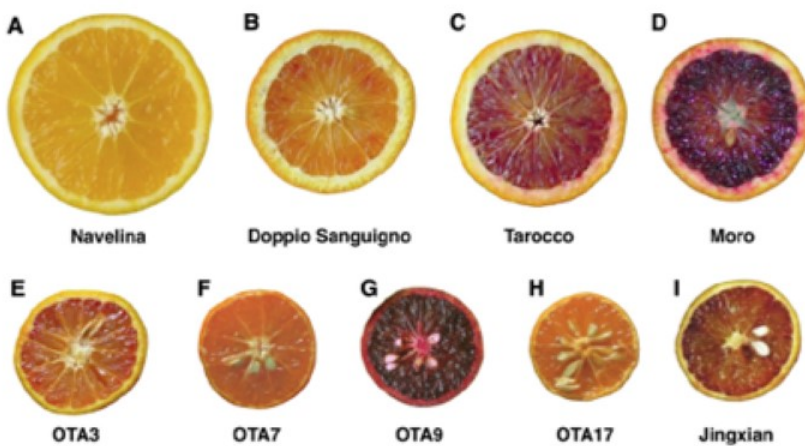
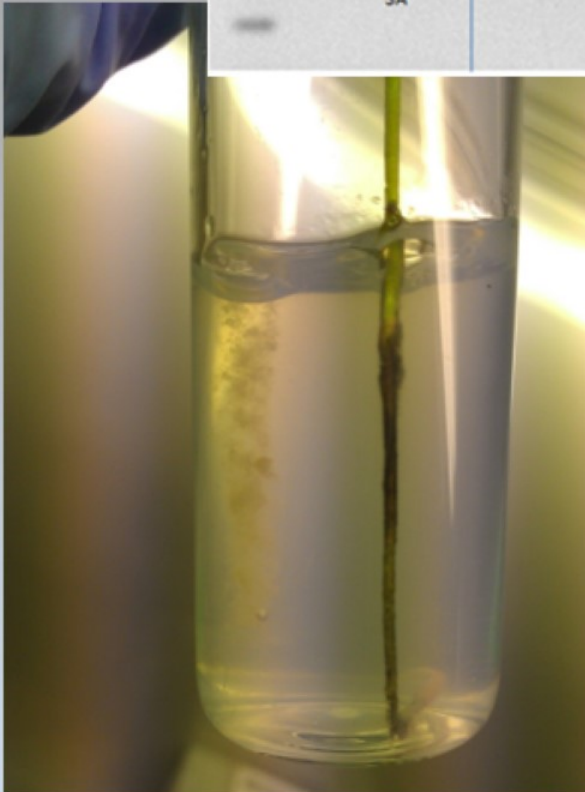
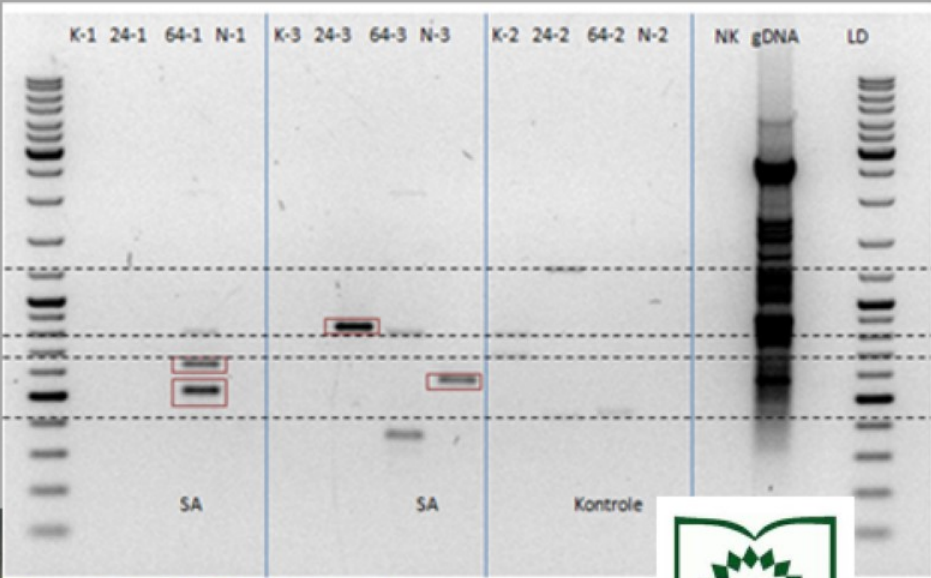


Figure 1. Phenotypes and Genotypes of Orange Varieties and Hybrids.

Atkritumi ir jāšķiro, izpratne par lēkājošiem elementiem mainījās

~~TE~~
~~GARBAGE~~ SORTING





Kultūraugi - savvaļas augi

Savvaļas priekštecis



Mūsdienē ūjirnes



Aegilops (wheat wild ancestor), <http://www.arcad-project.org>

- Īss paaudžu nomaiņas laiks
- Zema ģenētiskā daudzveidība
- Cilvēku vadīta selekcija kopš 8500 pr.m.ē.
- Augsta specializācija videi
- Augsta uzņēmība pret slimībām
- Molekulārie markieri



- Ilgs paaudžu nomaiņas laiks
- Augsta ģenētiskā daudzveidība
- Dabiskā izlase
- Augsta pielāgošanas spēja videi
- Paaugstināta izturība pret slimībām
- Fenotipiskas pazīmes un molekulārie markieri

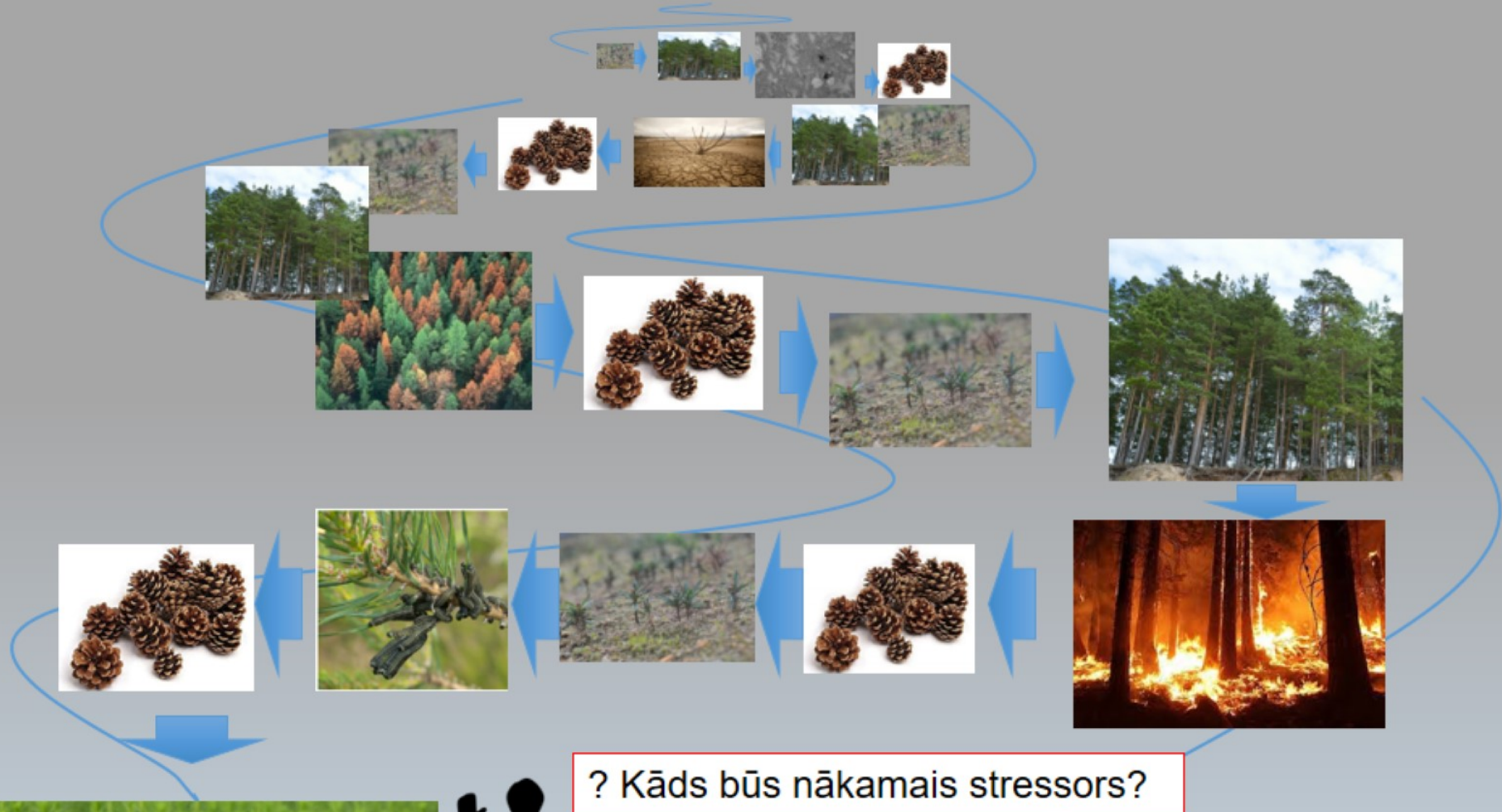
Slēptā iedzīmtība: rīcība stresa situācijā



karš

Lauka/kontrolēti eksperimenti izturības novērtējums



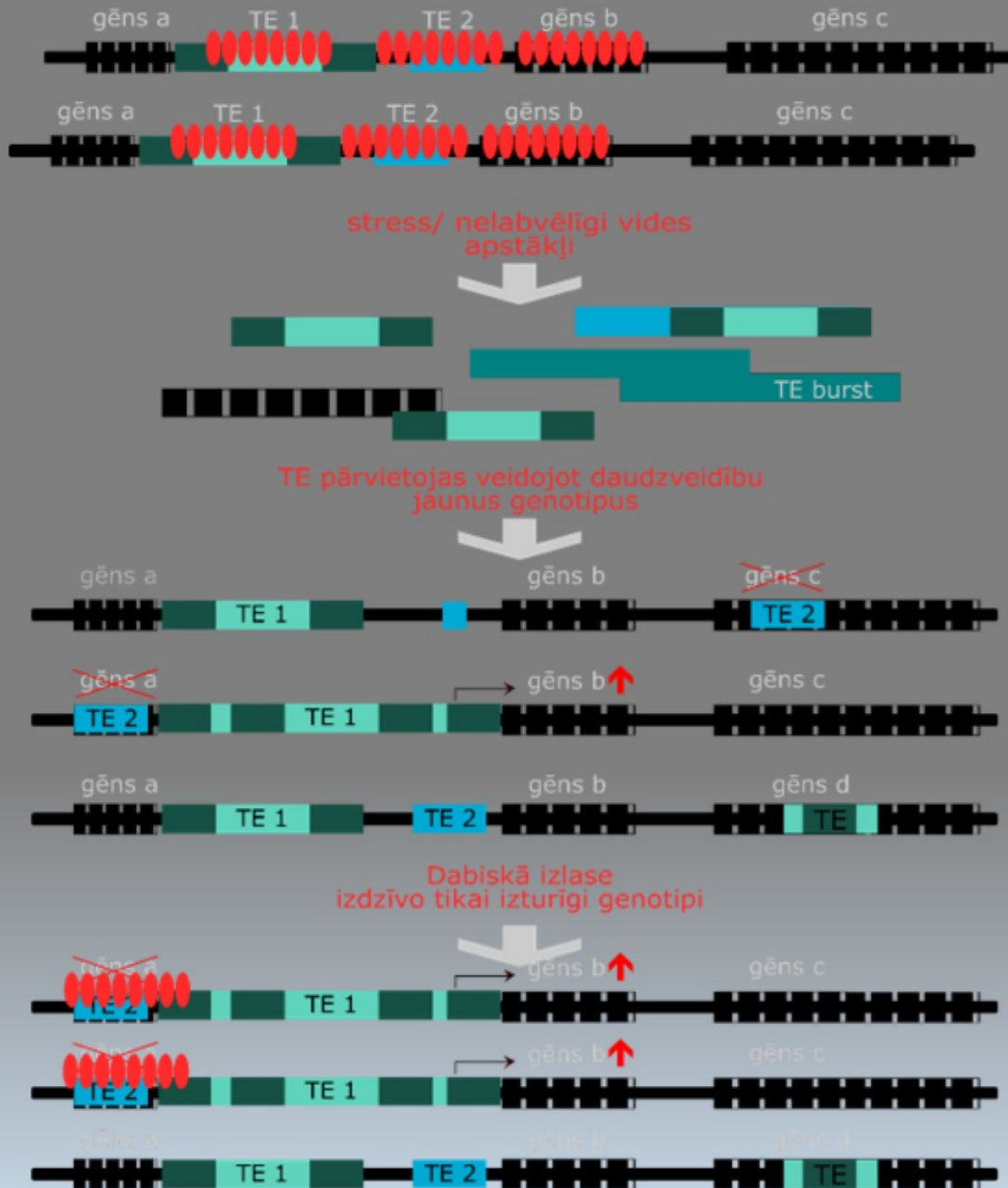


? Kāds būs nākamais stressors?

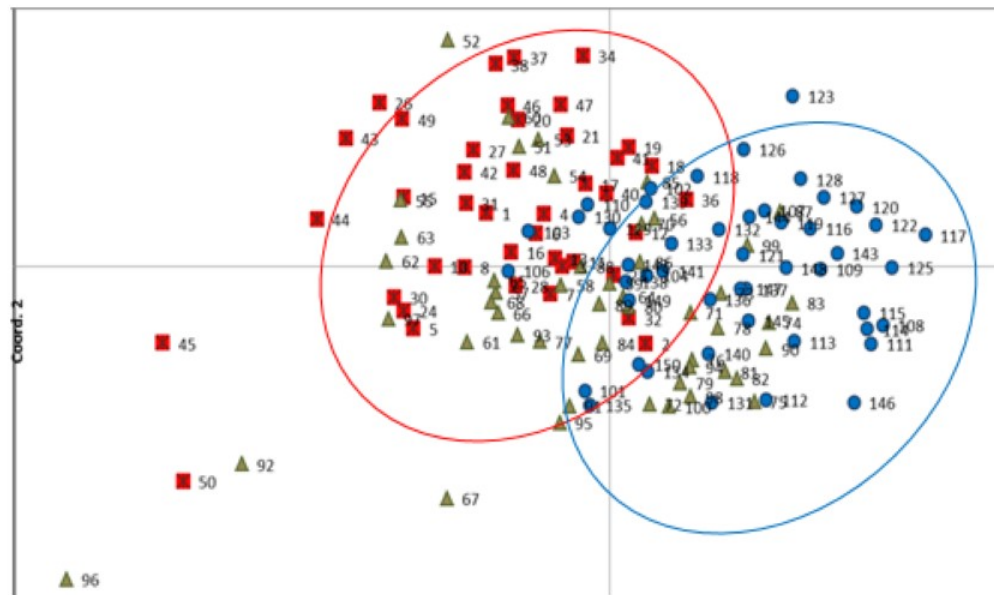
? Kā atlasīt labākos genotipus nezaudējot ģenētisko daudzveidību?

? Vai ir iespējams atrast molekulāros markierus augu atlasei ar paaugstinātām aizsardzības spējām?

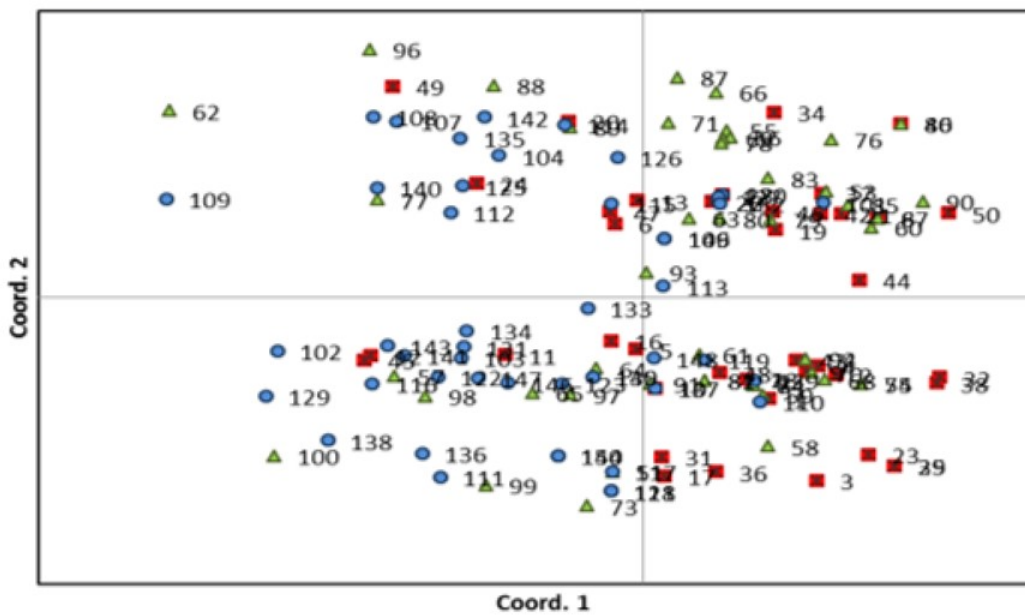




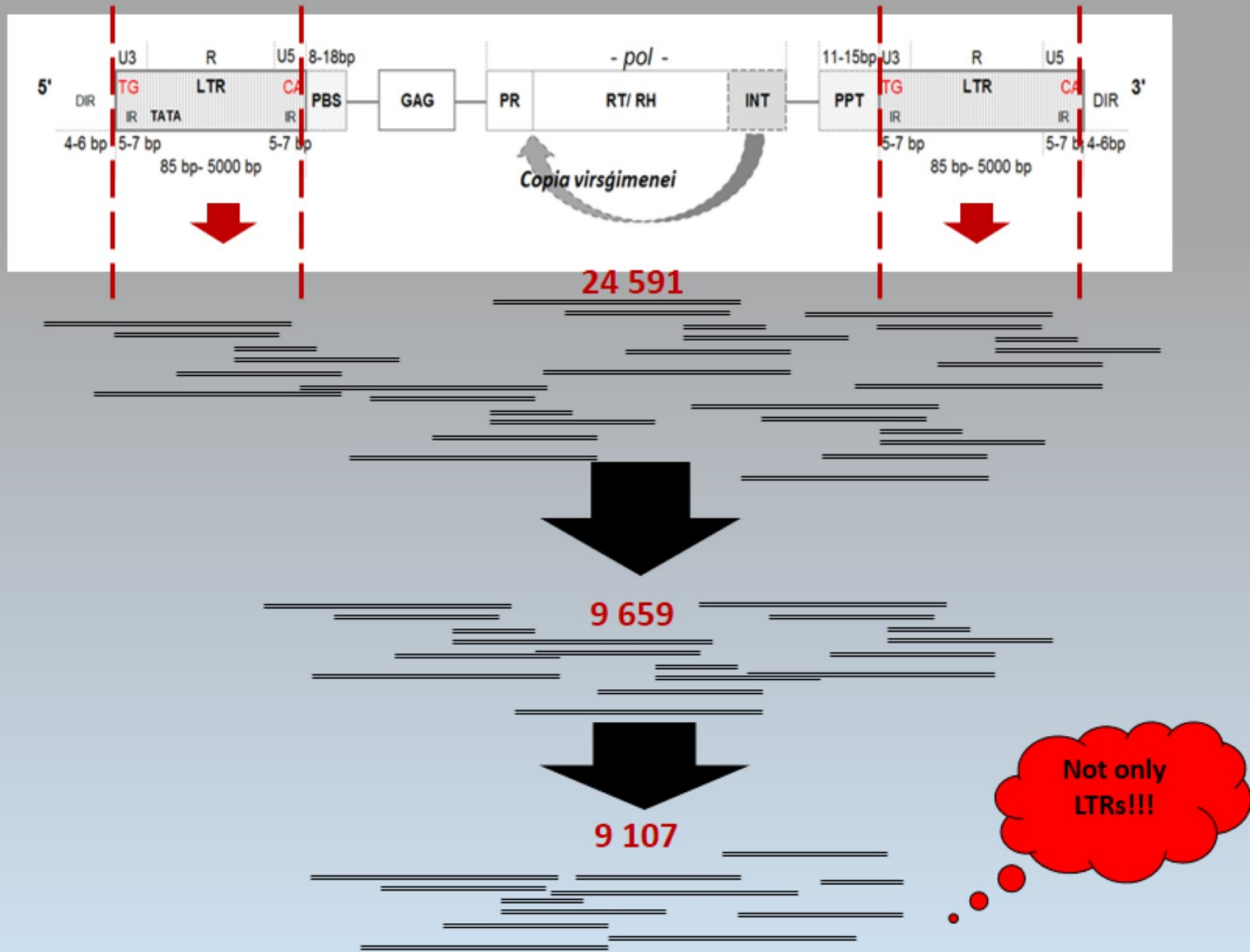
IRAP datu analīze



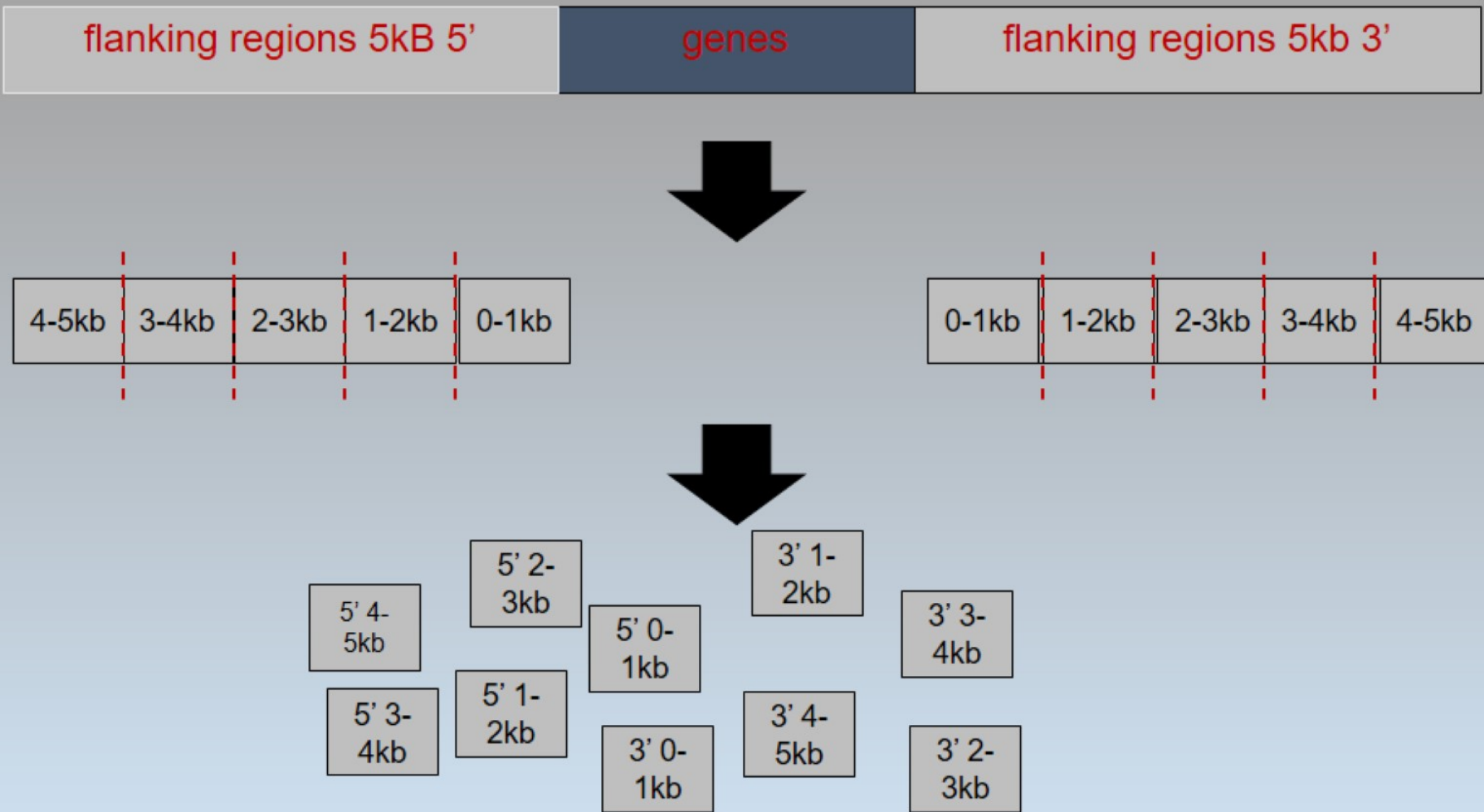
SSR datu analīze



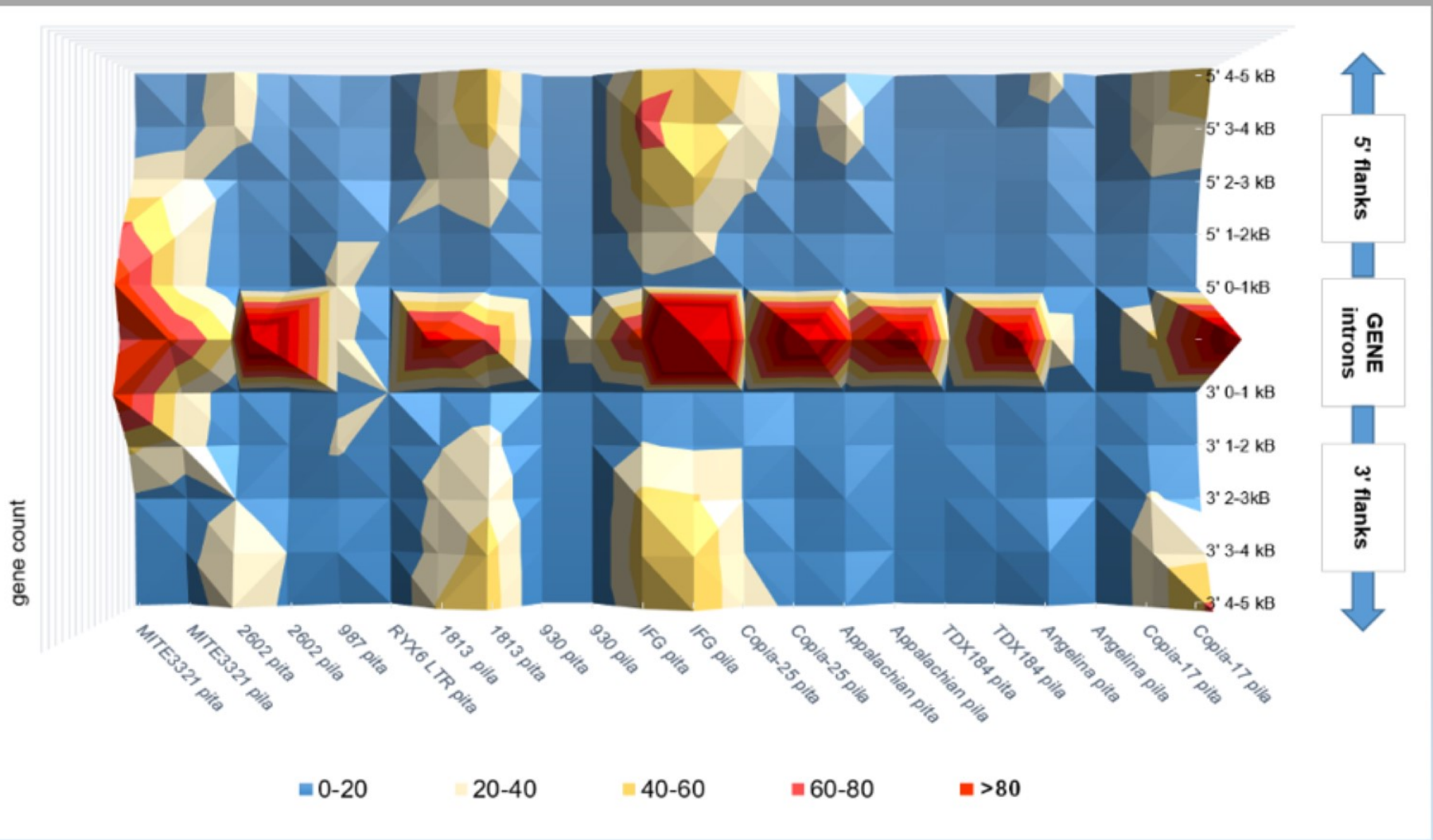
References genomu pētījumi



Flankējošo rajonu analīze



Kā TE ir izplatīti gēnu tuvumā?

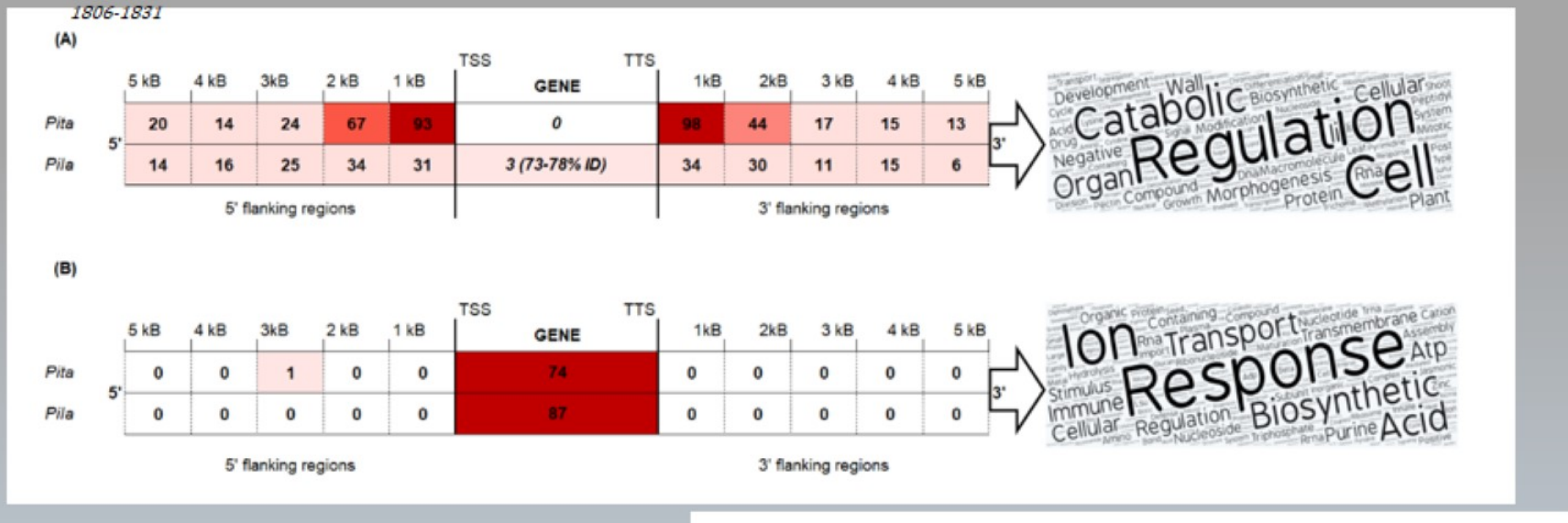




Emilia Plater

1806-1831

MITE Plater family distribution among gene regions of reference species

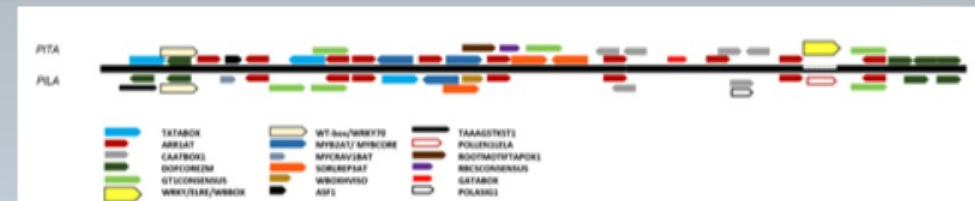


Reference genomes:

Pinus taeda

Pinus sylvestris - ???

Pinus lambertiana

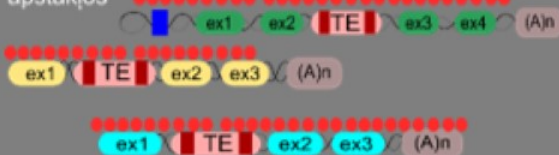


ARR1AT-pita-10; pila-7;
CAATBOX1-4; 2;
DOFCOREZM-4; 5;
GT1CONSENSUS -3; 3

TE tiek iesaistīti gēnu tīklu veidošanā un sniedz priekšrocību savvaļas augiem- koordinētu gēnu atbildi stresa laikā

Gēnu grupa I

aizsardzību nosakošie gēni- TE intronus piesaista metilēšanas faktorus, gēni nav aktīvi normālos apstākjos



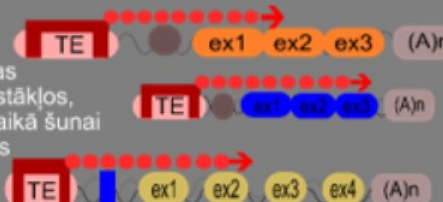
pēc trauksmes signālu mazināšanos
- abas gēnu grupas atgriežas
sākotnējā darba režīmā



nekodējošais RNS piesaistas identiskām sekvencēm,
kas atrodas gēnu grupas II flankos
piesaista metilēšanas signālus un aptur šo gēnu darbību

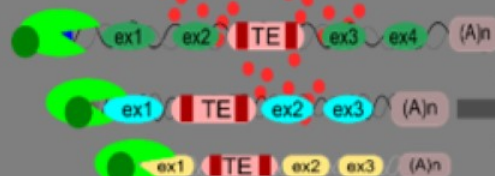
Gēnu grupa II

attīstības & ūnu augšanas
gēni ir aktīvi normālos apstākjos,
taču tiek kļūsināti stresa laikā šunai
pārslēdzoties aizsardzības
režīmā



Stress

DNS demetilēšana
transkripcijas iniciēšana



I grupas gēnu mRNS
nobriešanas laikā
no TE tiek kopražots
nekodējošs RNS

Aizsardzības atbildes
homeostāzes uzturēšana
receptoru veidošana



gēnu tīkla I
aktivizēšana

ar TE inserciju dažādos gēnos
un to rajonos, tiek ātri koodrinēta
atšķirīgo gēnu tīklu darbība



Augšanas, attīstības,
krājumu veidošanas
procesu apturēšana

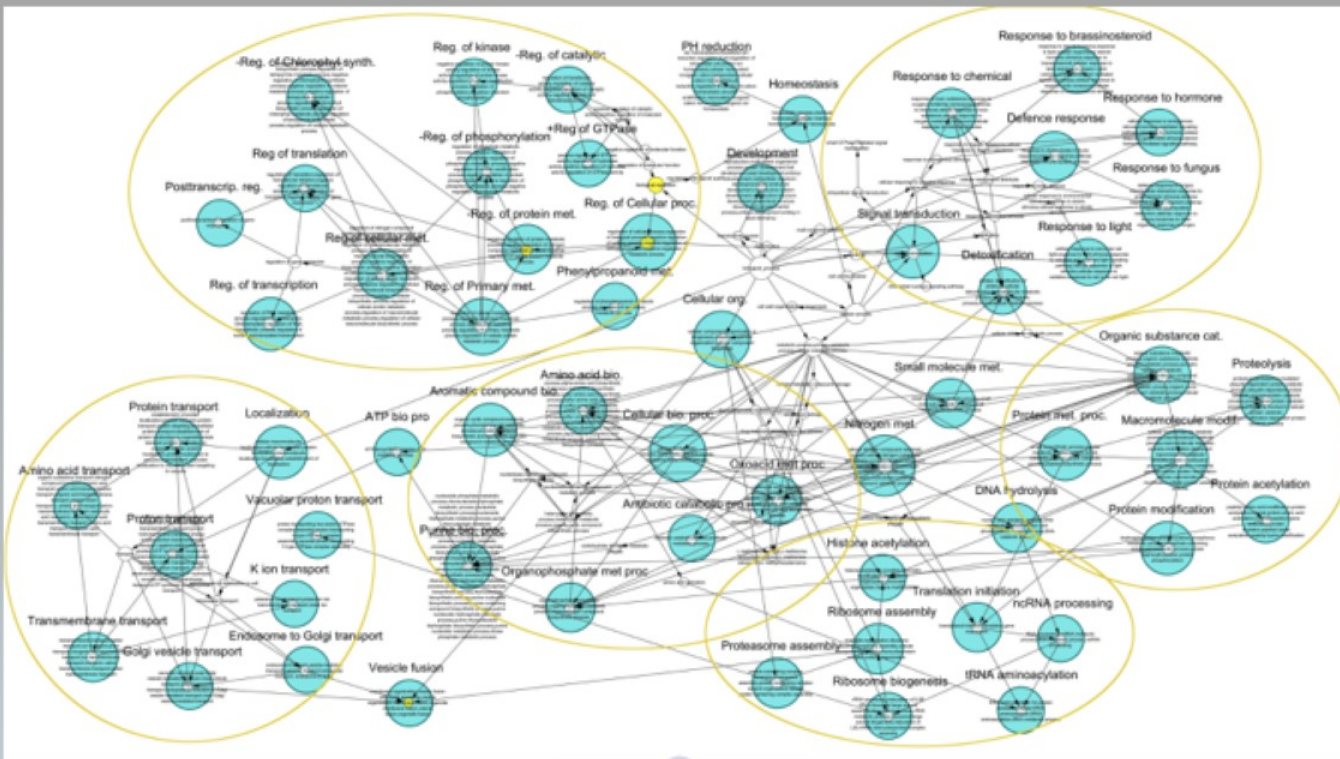


gēnu tīkla II
inhibēšana

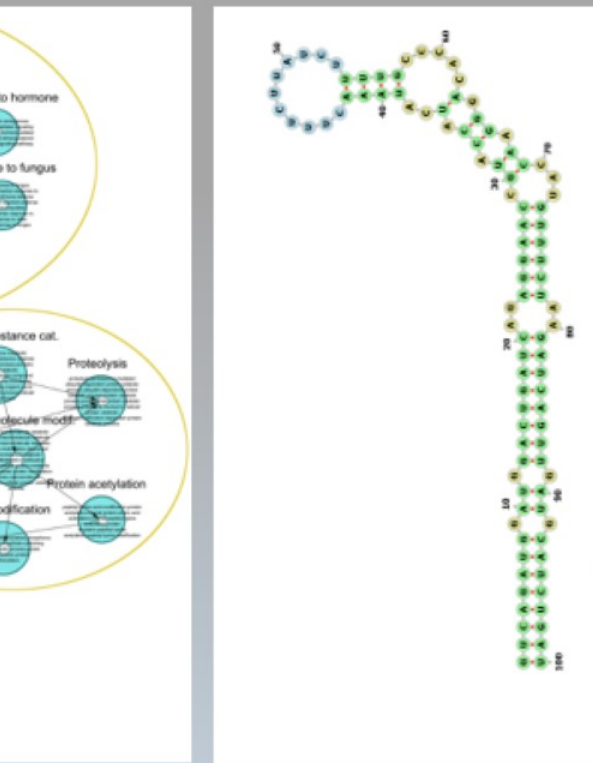
Attēls: Angelika Voronova



DNS transposons *Irbe* atrodas gēnu intronos, kas ir iesaistīti atbildē uz stresu, satur mikroRNS



NPR1 (Nonexpresser of Pathogenesis-related proteins-1);
histone-binding PHD1 finger protein ALFIN-like 4 coding gene;
COPII-coated ER to Golgi transport vehicle SNARE-like 13 gene
eukaryotic translation initiation complex 2B
PSMD4, a 26S proteasome non-ATPase regulatory subunit gene



Satur microRNA sly-miR9472-3p
līdzīgu sausumam toleranās
tomātu šķirnē esošajam (Candar-Cakir et al., 2016; Liu et al., 2017).

IFG RE insercijas proteīnkināzes gēnos

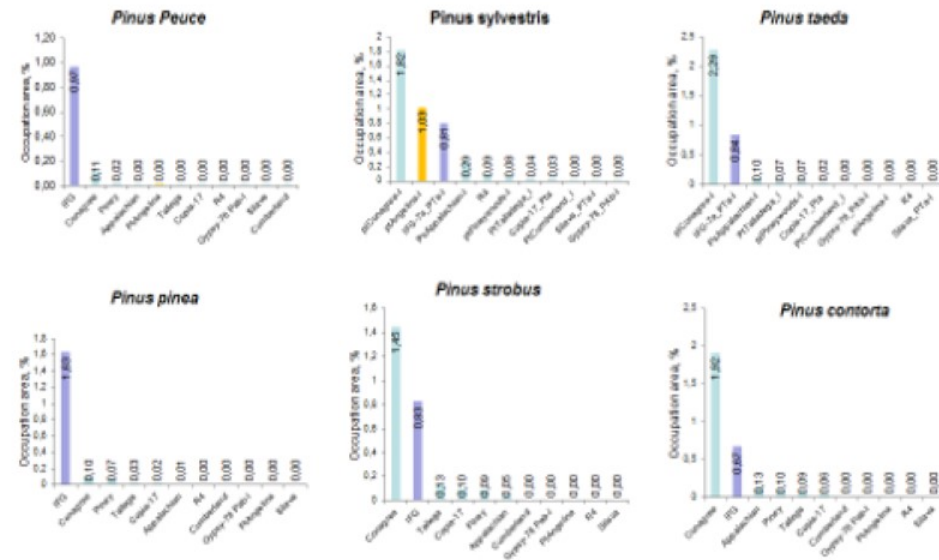
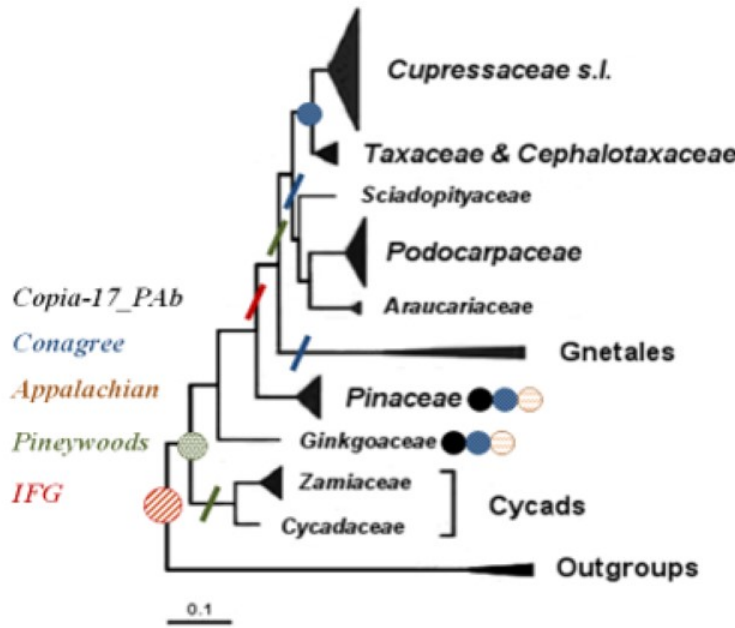


Figure 1. Occupation area (%) of RE families relative to species average genome size.

It was assumed that each estimated copy represents full-length element. Estimation of the copy number of eleven REs was performed using Real-time PCR absolute quantification with Maxima SYBR Green/ROX qPCR Master Mix (Thermo Scientific) reagents and StepOne software v2.2.2 (Applied Biosystems). Plasmids with cloned RE sequences were used for standard curves (6 dilutions 1:10, 3 replicates), for plasmid with a known insert sequence, molecular weight was calculated using the Sequence Manipulation Suite: DNA Molecular Weight (Stothard, 2000). Plasmid copy number was calculated using the formula: $\text{copy nb} = (\text{amount, ng}) \times \text{Avogadro nb.} \times (0.22 \times 10^{23}) / (\text{molar weight, Da})$. Copy number of each RE was calculated relative to the amount of DNA analysed and the genome size (2C) of the various species.

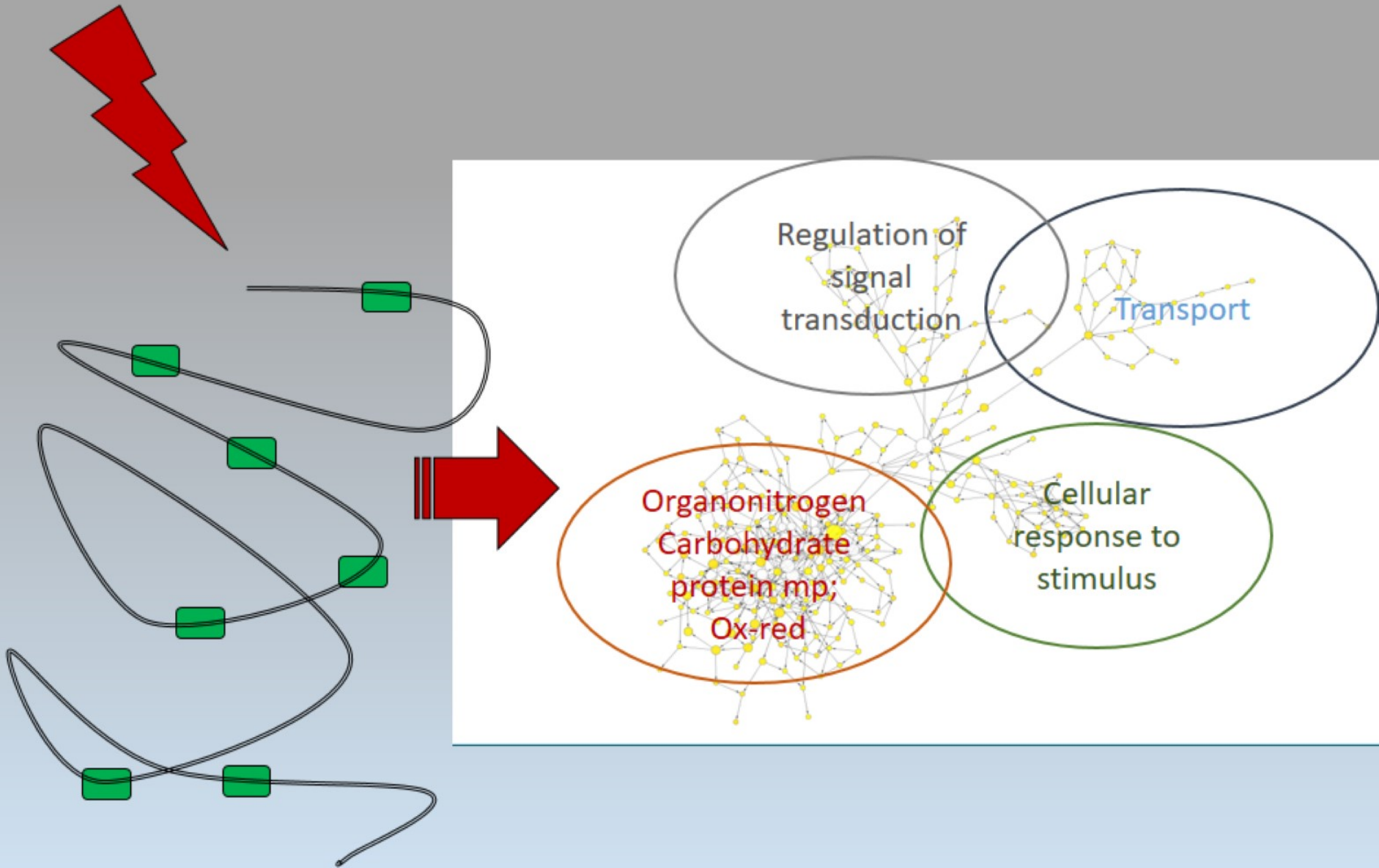
Three homologous protein kinase genes with *IFG* insertions were identified: plastidial pyruvate kinase coding gene, PTI1-like tyrosine protein kinase gene, and putative receptor-like protein kinase gene.

Daugava RLC satur gaismas-sensitīvus motīvus

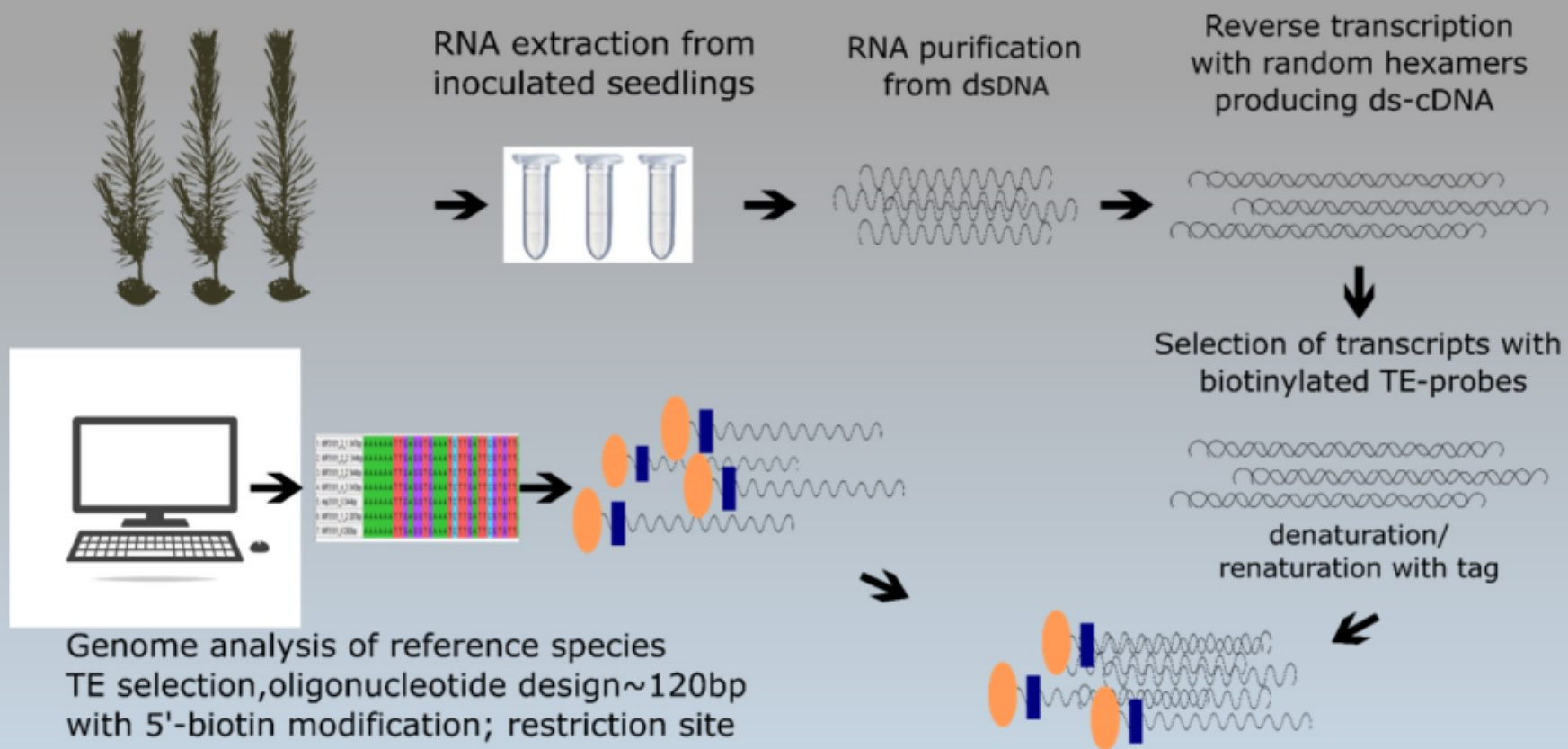
- *P.taeda*: $(AGNN)_3(AG)_3(NNAG)_2$ and $(AGNN)_2(AGN)_4$.
- *P. lambertiana*: AA(AGG)₂A₃(AGG)₂GA₃AGG and GAG(AGG)₃AGA(AG)₃.
- The **(AG)₄A** motif is one of the most common TFBS for plant promoters (Liu et al., 2013), that regulate light-responsive phototransduction processes in plants (Parida et al., 2009).



Gēnu tīklošanās



TE-mērkēta atlase un jaunās paaudzes sekvenēšana

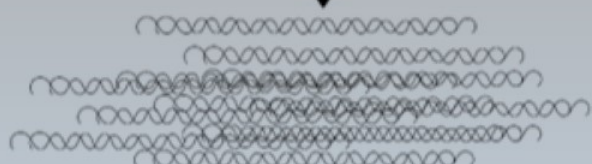


TE-mērkēta atlase un jaunās paaudzes sekvenēšana

cut-off streptavidin-biotin complex,
separation using magnetic stand



multiply using phi29



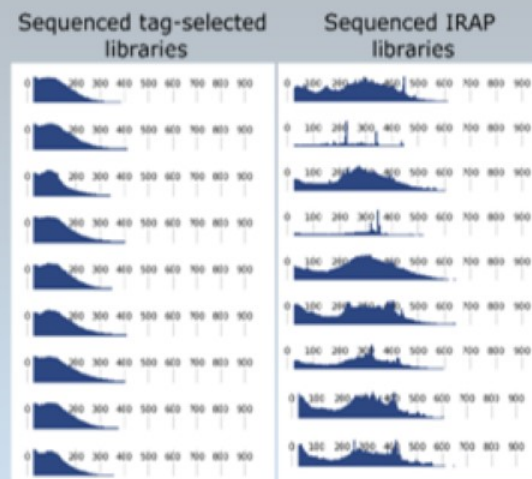
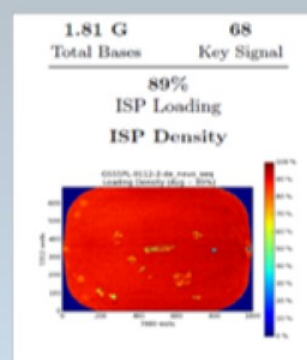
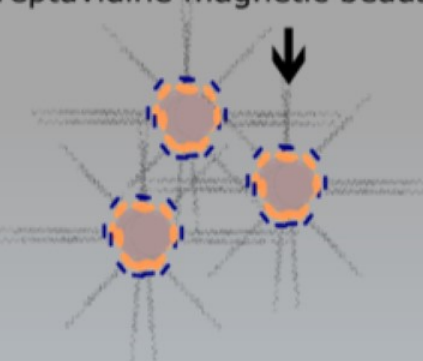
combine several genotypes

Preparation of libraries for NGS sequencing

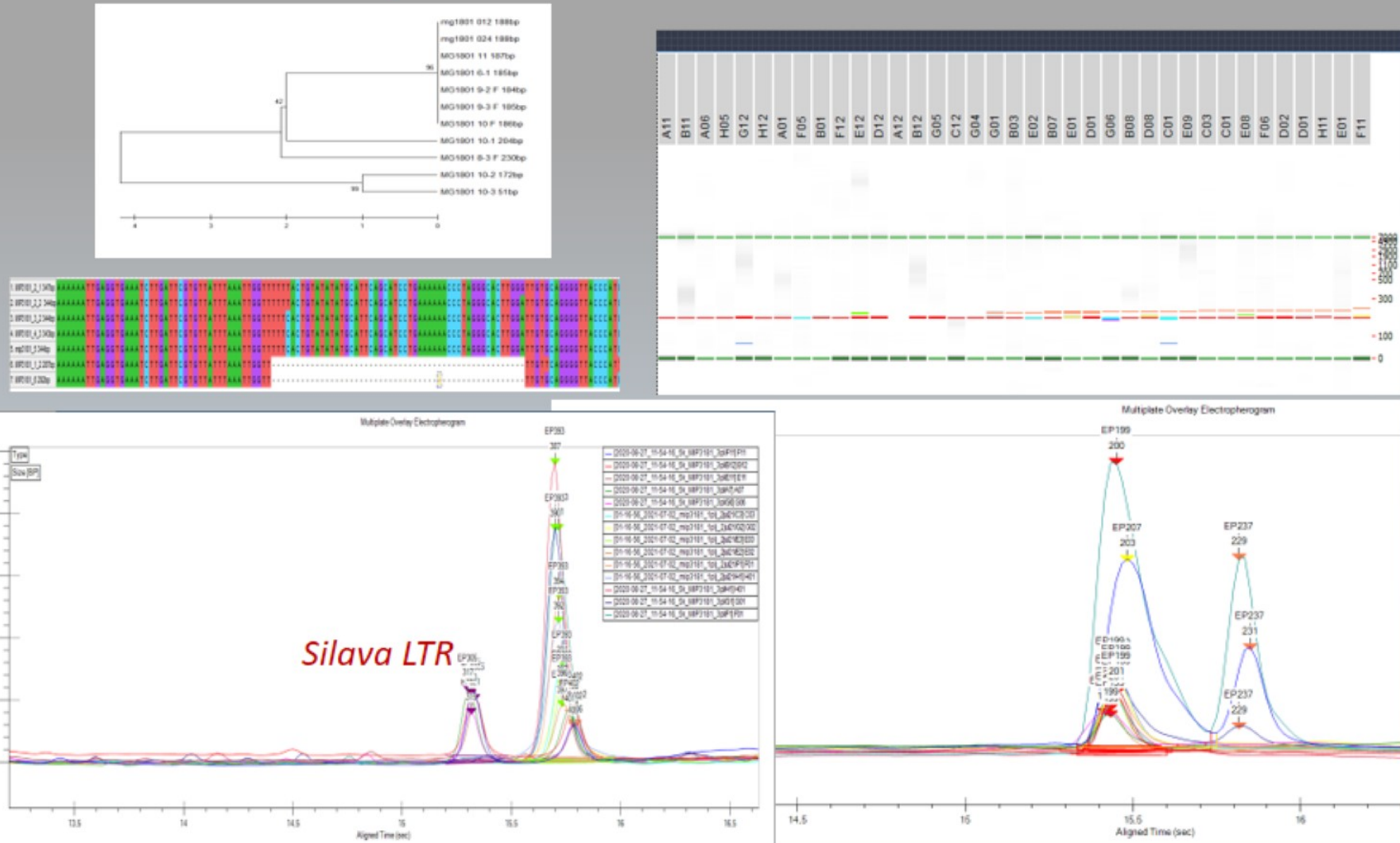


8

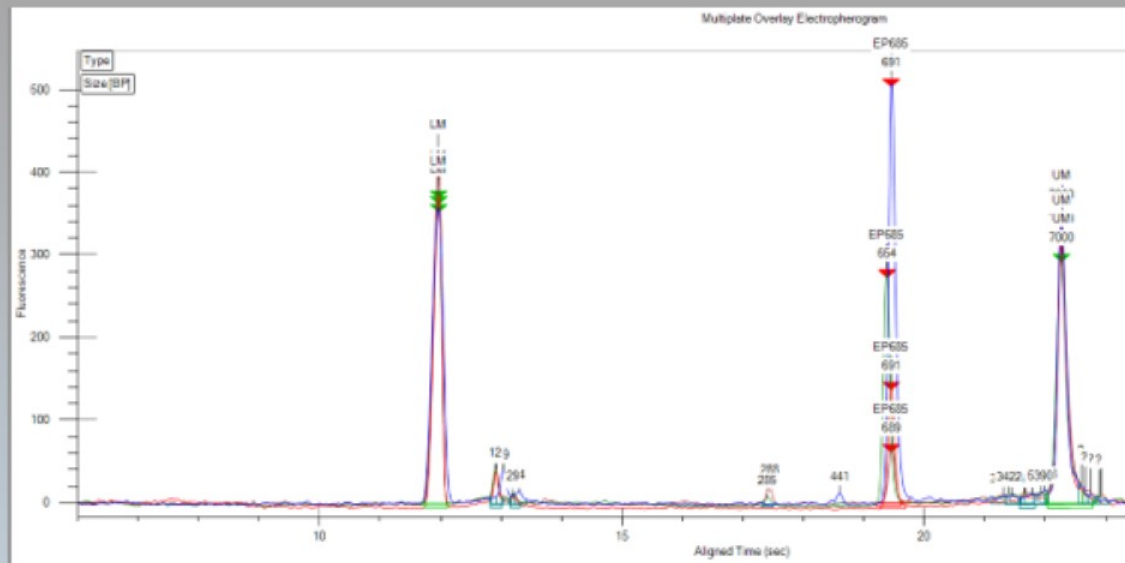
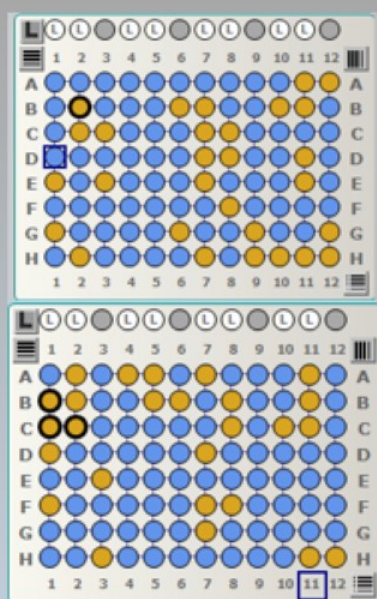
separation of molecules using streptavidine magnetic beads method



Molekulāro markieru veidošana
-retās aleles satur citu TE daļas
-polimorfisms MITE sekvencē



Molekulāro markieru veidošana -apstiprināti gēni, kas satur *Pater MITE*



More resistant-pop1	Low damage-pop2	more damage-pop3	nat-pop-1	nat-pop2	average fq
0,27	0,21	0,33	0,19	0,42	0,29

Transponējamie elementi ir funkcionāla genoma sastāvdaļa



Paldies kolēgiem, kas dažādā laikā man palīdzēja!



PostDoc
Latvia



FLPP
FUNDAMENTĀLO UN
LIETIŠKO PĒTĪJUMU
PROJEKTU

Paldies par uzmanību!

